

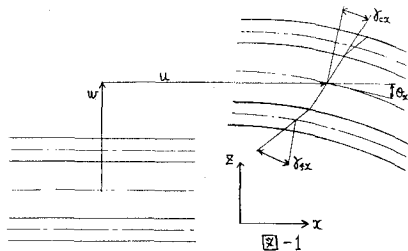
名古屋工業大学 正員 松浦 聖  
 日本下水道事業団 正員 木全 隆  
 名古屋工業大学大学院 学生員 中山 元

**1. まえがき** 本報告は、剛性の高い2枚の表板と、それらにはさまれた軽量な心材からなる、三層のサンドイッチ構造をもつ平面骨組構造、特に、ラーメンとアーチの非線形座屈について解析を行なう。解析法は、荷重増分法による有限要素法を用いる。なお、ここにいう“非線形”とは、幾何学的非線形のみを対象とし、材料に関しては、弾性域内にあるものとする。

## 2. 歪-変位関係および、応力-歪関係

図-1に示すようなサンドイッチ構造の変形を考える。歪成分は、次のようになる。<sup>1)</sup>(K:各層の指標)

$$\begin{Bmatrix} \varepsilon_{xx} \\ 2\varepsilon_{xz} \end{Bmatrix}_K = \begin{Bmatrix} e_{xx} \\ 2e_{xz} \end{Bmatrix}_K + \begin{Bmatrix} \eta_{xx} \\ 2\eta_{xz} \end{Bmatrix}_K \quad (K=1, 2, 3) \quad -(1)$$



式(1)で、右辺第一項は、歪の線形成分、第二項は、歪の非線形成分を示す。各歪成分は、各層の中央面での歪と曲率を用ひると、式(1)は、次のようになる。

$$\begin{Bmatrix} \varepsilon_{xx} \\ 2\varepsilon_{xz} \end{Bmatrix}_K = \begin{Bmatrix} e_{xx}^{(0)} \\ 2e_{xz}^{(0)} \end{Bmatrix}_K + \begin{Bmatrix} K_{xx} \\ 0 \end{Bmatrix}_K + \begin{Bmatrix} \eta_{xx}^{(0)} \\ 2\eta_{xz}^{(0)} \end{Bmatrix}_K + \begin{Bmatrix} \omega_{xx} \\ 0 \end{Bmatrix}_K \quad (K=1, 2, 3) \quad -(2)$$

図-1に示す量を用ひて、式(2)を書き、次のようになる。

$$\begin{Bmatrix} \varepsilon_{xx} \\ 2\varepsilon_{xz} \end{Bmatrix}_1 = \begin{Bmatrix} \frac{du}{dx} \\ 0 \end{Bmatrix} + \begin{Bmatrix} \frac{d^2u}{dx^2} - \frac{dw}{dx} \\ 0 \end{Bmatrix} + \begin{Bmatrix} \frac{1}{2}(\frac{dw}{dx})^2 \\ (\frac{du}{dx} - \frac{dw}{dx}) \cdot \frac{du}{dx} \end{Bmatrix} + \begin{Bmatrix} 0 \\ 0 \end{Bmatrix} \quad -(3)$$

$$\begin{Bmatrix} \varepsilon_{xx} \\ 2\varepsilon_{xz} \end{Bmatrix}_{2,3} = \begin{Bmatrix} \frac{du}{dx} \pm \frac{d}{2}(\gamma_c \frac{du}{dx} + \gamma_s \frac{du}{dx} - \frac{dw}{dx}) \\ \gamma_3 \end{Bmatrix} + \begin{Bmatrix} \frac{d^2u}{dx^2} - \frac{dw}{dx} \\ 0 \end{Bmatrix} + \begin{Bmatrix} \frac{1}{2}(\frac{dw}{dx})^2 \\ (\gamma_f - \frac{dw}{dx}) \cdot \frac{du}{dx} \end{Bmatrix} + \begin{Bmatrix} 0 \\ 0 \end{Bmatrix} \quad -(4)$$

さて、応力-歪関係式は、垂直応力  $\sigma_{xx}$ 、横せん断応力  $\tau_{xz}$  すれば、

$$\begin{Bmatrix} \sigma_{xx} \\ \tau_{xz} \end{Bmatrix}_K = \begin{Bmatrix} E_K & 0 \\ 0 & G_K \end{Bmatrix} \begin{Bmatrix} \varepsilon_{xx} \\ 2\varepsilon_{xz} \end{Bmatrix}_K \quad -(5) \quad \begin{Bmatrix} \varepsilon_{xx} \\ 2\varepsilon_{xz} \end{Bmatrix}_K = \begin{Bmatrix} e_{xx}^{(0)} \\ 2e_{xz}^{(0)} \end{Bmatrix}_K + \begin{Bmatrix} K_{xx} \\ 0 \end{Bmatrix}_K \quad (K=1, 2, 3) \quad -(6)$$

本解析に用ひる、線形増分理論論において、応力増分は、歪増分の線形成分のみに依存するところから、式(6)の表示ができる。また、各層の断面力は、次のようになる。

$$\begin{Bmatrix} N \\ M \\ Q \end{Bmatrix} = \int_{\frac{L}{3}}^{\frac{2L}{3}} b \begin{Bmatrix} \sigma_{xx} \\ \sigma_{xz} \eta_K \\ \tau_{xz} \end{Bmatrix} d\eta_K \quad (K=1, 2, 3) \quad -(7)$$

## 3. 有限要素解析

図-2に示す、サンドイッチ梁要素を考へる。自由度は、各節点につき、5個ある。変位仮定は、W<sub>i</sub>に関する3次関数、軸方向変位および、せん断変形については、線形性を仮定する。そこで、次の表示が得られる。

$$\{w_i \ u_i \ \tau_{xz,i} \ \eta_K\}^T = \{\varphi_{w,i} \ \varphi_{u,i} \ \varphi_{\tau_{xz},i} \ \varphi_{\eta_K}\}^T \{w_i \ \theta_i \ u_i \ \tau_{xz,i} \ | \ w_j \ \theta_j \ u_j \ \tau_{xz,j} \ \eta_K\}^T \quad -(8)$$

以上のことを、考慮すれば、線形増分理論における剛性マトリクスは、次のような形で与えられる。

$$\{K\} = \{\tilde{K}_0\} + \{\tilde{K}_q\} \quad \{F\} : (10 \times 10 \text{ マトリクス}) \quad -(9)$$

増分荷重ベクトルは、増分荷重に対して線形とする。そして、各要素ごとの剛性マトリクスおよび、荷重増分ベクトルを、図に示す、傾き $\alpha$ を用いて、全体座標( $X-Z$ )系に変換し、構造全体について、組み立てを行なうと、最終的に、次の形の剛性方程式を得る。

$$\{F\} = [K]\{\tilde{F}\} \quad -(10)$$

実際に、式(10)を解くにあたっては、構造に、仮想バネを付加するこことよって、座屈近傍での解の精度を高める方法である、Augmented Technique を用いる。  
\*\*)

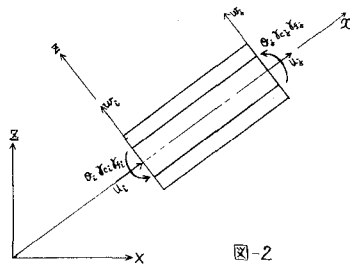


図-2

#### 4. 結果と考察

サンディッヂ構造としては、表板にアルミニウム、心材にアルミニウムハニコムを用いた。ここでは、ラーメン、アーチとも、両端固定、両端ヒンジの2例についての解析を示す。

ラーメン：柱高、梁長は、ともに50cmとする。まず、両端固定の場合、柱と直角方向の荷重 $Q$ に対して、柱の軸方向荷重 $P$ の、 $1/200$ 、 $1/100$ 、および、 $1/50$ の3通りについて考慮した。その各自の場合に対する座屈荷重は、それぞれ、670.70kg、666.84kg、669.17kgである。両端ヒンジの場合 $Q$ に対して、 $P/200$ 、 $P/100$ の2通りについて、考慮された対応する座屈荷重は、それぞれ、239.42kg、239.42kgである。これらの関係を、図-3およそ、図-4に示す。

アーチ：両端固定の場合、飛移り現象を示す。 $P-\delta$ 関係が得られ、屈服点は、 $P=706.35\text{ kg}$ 、 $W=4.106\text{ cm}^2$ 、 $P=543.85\text{ kg}$ まで、荷重減少に拘らず変形が進み、以後、再び耐荷力が増す。また、両端ヒンジアーチでは、 $P=713.68\text{ kg}$ 、 $W=4.390\text{ cm}^2$ の点で屈服し、 $P=665.01\text{ kg}$ まで、荷重が減少しても変形は進み、以後、再び、耐荷力は、増加する。

#### (参考文献)

- \* Khatua T.P. and Cheung Y.K., "Triangular Element for Multilayer Sandwich Plates", J. Eng. Mech. Div. ASCE NO. EM5 Oct. 1972 pp. 1225-1238
- \*\*) Sharifi P. and Popov E.P., "Nonlinear Buckling Analysis of Sandwich Arches", J. Eng. Mech. Div. ASCE NO EM5 Oct. 1971 pp. 1397-1412

